



БИООРГАНИЧЕСКАЯ ХИМИЯ

том 9* №10* 1983

УДК 577.113.6:577.152.277

ФЕРМЕНТАТИВНЫЙ СИНТЕЗ ОЛИГОНУКЛЕОТИДОВ, СООТВЕТСТВУЮЩИХ 3'-КОНЦУ РНК ВИРУСА ГРИППА

**Женодарова С. М., Клягина В. П., Седельникова Э. А.,
Смолянинова О. А., Хабарова М. И.**

Институт биологической физики Академии наук СССР, г. Пущино Московской обл..

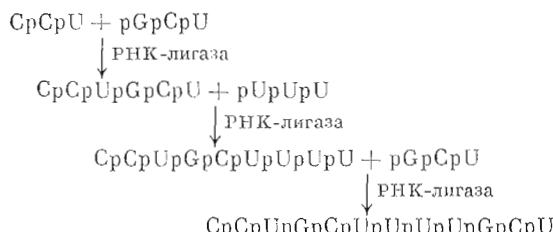
Белова Е. Н., Манькин А. С.

Московский государственный университет им. М. В. Ломоносова,
Межфакультетская проблемная научно-исследовательская лаборатория
молекулярной биологии и биоорганической химии им. А. Н. Белозерского

Синтезирован додекануклеотид $\text{CpCpUpGpCpUpUpUpUpGpCpU}$, соответствующий 3'-концу РНК вируса гриппа. Исходные блоки CpCpU , GpCpU , pGpCpU и pGpCpUp были получены ферментативным синтезом с использованием рибонуклеаз различной субстратной специфичности и полинуклеотидфосфорилазы, а pUpUpU — гидролизом полиуридилиевой кислоты эндонуклеазой *Serratia marcescens*. Для «спивки» блоков применяли РНК-лигазу.

Вирус гриппа — РНК-содержащий вирус с сегментированным геномом [1]. Вирусы гриппа типов А и В имеют восемь сегментов, а типа С — семь; каждый сегмент кодирует вполне определенный вирусный белок. Сравнение 3'-концевых последовательностей этих генов выявило высокую степень консервативности их первичной структуры: многие гены вирусов: А и С имеют на 3'-конце додекануклеотид $\text{CpCpUpGpCpUpUpUpGpCpU}$ с заменой в остальных случаях четвертого или пятого (с 3'-конца) остатка уридина цитидином [2]. Для понимания биологического смысла этой консервативности, ее роли в функционировании вирусной РНК и решения ряда других задач, связанных с изучением вируса гриппа, необходимо иметь модельные олигорибонуклеотиды, соответствующие 3'-концу вирусной РНК.

Настоящая работа посвящена синтезу додекануклеотида $\text{CpCpUpGp-CpUpUpUpGpCpU}$. Схема синтеза предусматривает «сборку» додекануклеотида из предварительно полученных тринуклеотидных блоков с помощью РНК-лигазы:

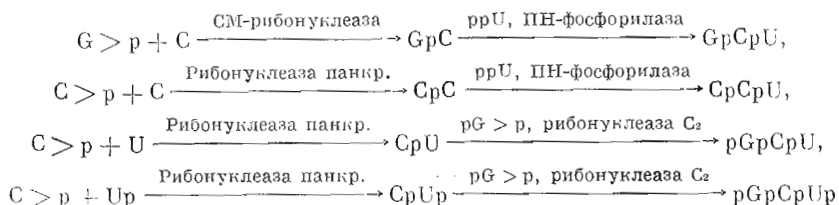


Сборка 12-членного олигонуклеотида из блоков, разумеется, может быть осуществлена и другими способами: из двух предварительно полученных гексануклеотидов, из трех тетрануклеотидов и т. д. Однако с точки зрения удобства получения блоков ферментативным путем наиболее рациональна выбранная нами схема. Почти равносценен ей вариант, включающий в себя сборку по схеме «6+6» (в этом случае добавляется стадия фосфорилирования второго гексануклеотида), все же остальные

Сокращения: РНК-фосфорилаза — полинуклеотидфосфорилаза, СМ-рибонуклеаза — рибонуклеаза, ковалентно связавшая с СМ-целлюзой.

варианты по тем или иным причинам трудны для ферментативного синтеза. Не исключено, что выход олигонуклеотида будет выше при «сшивке» по схеме «б+б», но при разделении реакционной смеси большие трудности возникают в том случае, когда донор и акцептор имеют одинаковую длину: в результате обычно наблюдаемого частичного дефосфорилирования донора акцепторный гексануклеотид может быть загрязнен донорным.

Исходные блоки — трипуклеозидифосфаты GpCpU, CpCpU и трипуклеотиды pGpCpU и pGpCpUp — были получены ферментативно в две стадии с использованием рибонуклеаз различной специфичности и ПН-фосфорилаз:



Препартивный синтез GpC, CpU и GpCpU описан нами в работе [3], CpC — в работе [4], а pGpCpU — в работе [5]. Трипуклеозидифосфат GpCpU синтезировали, используя две различные ПН-фосфорилазы: *Escherichia coli* и *Micrococcus luteus* (табл. 1). CpC более эффективно инициирует синтез CpCpU в присутствии ПН-фосфорилазы *M. luteus*, что наблюдали и для других праймеров [6, 7]. Двукратное увеличение концентрации ПН-фосфорилазы *E. coli* несколько повышает выход CpCpU, но при дальнейшем увеличении выход даже уменьшается.

Результаты препартивного синтеза исходных блоков приведены в табл. 2. Четвертый из необходимых блоков — трипуклеотид pUpUpU — подобно другим гомоолигонуклеотидам легко получается из полиуридиличевой кислоты при обработке ее эндонуклеазой *Serratia marcescens* [8].

Для «сшивки» полученных блоков использовали РНК-лигазу T4*. «Сшивку» проводили в условиях, описанных нами ранее [8]. Концентрацию фермента меняли в зависимости от структуры субстратов. Реакционные смеси после инактивации фермента разделяли на колонке с DEAE-сефадексом в системе Томлинсона-Тенера. Пики, соответствующие отдельным компонентам, обессоливали на сефадексе G-15 и хроматографировали на бумаге в системе растворителей *n*-пропанол — конц. аммиак — вода (5 : 1 : 4). В табл. 3 приведены результаты синтезов с участием РНК-лигазы.

«Сшивка» двух первых блоков (CpCpU+pGpCpU, см. рис. 1a) проходит с довольно хорошим выходом (31%). В литературе отсутствуют примеры синтеза, когда «сшиваемые» РНК-лигазой субстраты имеют на 3'- и 5'-концах остатки уридинина и 5'-фосфорилгуанозина соответственно, но часто повторяются данные о неэффективности акцепторов, содержащих уридин в одном из трех положений с 3'-конца [9]. Вероятно, оценивая эффективность субстратов РНК-лигазы, следует одновременно принимать во внимание структуру и донора, и акцептора. Действительно, акцептор, имеющий на 3'-конце остаток уридинина, малоэффективен при спивке с донором, начинающимся с остатка адениловой кислоты, но хорошо спивается с донором, начинающимся, например, с цитидиловой кислоты [10].

«Сшивка» GpCpU+pUpUpU, моделирующая следующую стадию (см. схему), проходит почти на 50% (рис. 2a). При замене GpCpU на CpCpUpGpCpU в «сшивке» с pUpUpU (рис. 1b) выход продукта снижается (36%), однако это явление наблюдали и для других субстратов при сравнении акцепторов различной степени удлиненности в 5'-направлении [3].

Для моделирования третьей стадии «сборки» дodeкануклеотида в качестве акцептора использовали пентануклеотид CpUpUpUpU и гексануклео-

* РНК-лигаза была выделена В. Ф. Майстренко и Н. М. Пустопиловой в Национально-исследовательском конструкторско-технологическом институте биологически активных веществ (Новосибирск).

Таблица 1
**Синтез тринуклеозиддифосфата CpCpU в присутствии
ПН-фосфорилаз *E. coli* и *M. luteus***
 $[CpC] = 0,01 \text{ M}$; $[ppU] = 0,05 \text{ M}$

ПН-фосфори- лаза	Концентрация фермента, ед. акт./мл	Время, ч	Выход CpCpU, %
<i>E. coli</i>	38	16	9
	66	16	10
	76	16	12
	95	16	11
	142	16	9
	1,5 *	2	20
<i>M. luteus</i>	1,5 *	3	22
	1,5 *	4	20

* Концентрация ПН-фосфорилазы *M. luteus* приведена в мг/мл.

Таблица 2
Препаративный синтез олигонуклеотидных блоков

Субстраты		Фермент	Олиго- нуклеотид	Выход	
донор	акцептор			мкмоль	% *
G>p	C	СМ-рибонуклеаза	GpC	100	40
C>p	C	Рибонуклеаза панкр.	CpC	200	22
C>p	U	»	CpU	24	12
C>p	Up	»	CpUp	20	20 **
ppU	GpC	ПН-фосфорилаза <i>E. coli</i>	GpCpU	9	20
ppU	CpC	ПН-фосфорилаза <i>M. luteus</i>	CpCpU	20	20
pG>p	CpU	Рибонуклеаза C ₂	pGpCpU	15	15
pG>p	CpUp	»	pGpCpUp	1	5

* Определено в расчете на субстрат, взятый без избытка.

** Определено в расчете на субстрат, израсходованный в реакции.

Таблица 3
**Синтез олигонуклеотидов, входящих в состав 3'-конца РНК вируса гриппа,
в присутствии РНК-лигазы**

Начальная концентрация донора фосфата ~1 мМ

Акцептор фосфата	Донор фосфата	[Акцептор] [Донор]	[РНК-лигаза], ед. акт./мл	Выход		Возврат, %	
				нмоль	%	акцеп- тор	Донор
GpCpU	pUpUpU	2-3	1000	465	47	30	20
CpCpU	pGpCpU	3	1000	545	31	61	22
CpCpUpGpCpU	pUpUpU	2	1000	320	36	35	34
GpCp(Up) ₃ U	pGpCpU	2	3000	10	6	48	30
»	pGpCpUp	1	3000	23	7	50	40
CpCpUpGpCp(Up) ₃ U	»	1	3000	61	8	30	40

тид GpCpUpUpUpU. Оказалось, что в первом случае при концентрации фермента 1000 ед. акт./мл, несмотря на двукратный избыток акцептора, образуется в основном продукт «самоконденсации» донора фосфата — гексануклеотид pGpCpUpGpCpU (7,5%). При повышении концентрации РНК-лигазы до 2500 ед. акт./мл были выделены оба продукта: CpUpUp·UpUpGpCpU и pGpCpUpGpCpU с выходами в обоих случаях ~5%. При концентрации 5000 ед. акт./мл октануклеотид образуется с таким же выходом. Поэтому «шшивку» GpCpUpUpUpU и pGpCpU проводили при концентрации РНК-лигазы 3000 ед.акт./мл и получили нонануклеотид GpCpUpUpUpUpGpCpU с выходом ~6% (рис. 2б).

Замена донора pGpCpU на pGpCpUp, содержащий 3'-концевой фосфатный остаток, исключающий «самоконденсацию», позволила использовать эквимолярные концентрации донора и акцептора фосфата. Пик III на

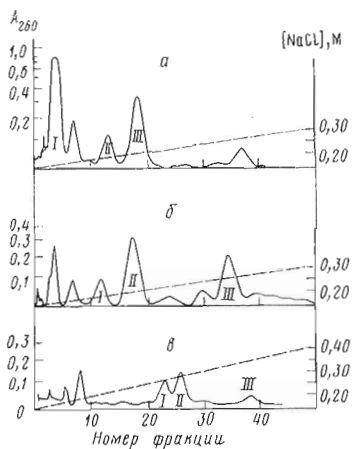


Рис. 1

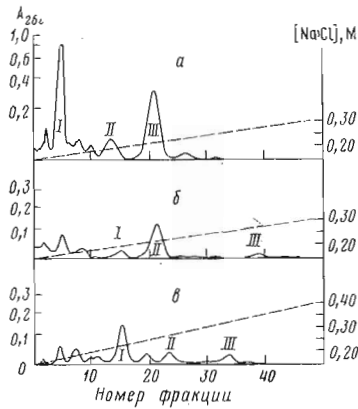


Рис. 2

Рис. 1. Разделение реакционных смесей, полученных в синтезе додекануклеотида, на колонке (0,9×22 см) с DEAE-сепадексом А-25 в системе Томлинсона-Генера. *α* – первая «швивка»: I – CpCpU, II – pGpCpU, III – CpCpUpGpCpU; *β* – вторая «швивка»: I – pUpUpU, II – CpCpUpGpCpU, III – CpCpUpGpCpUpUpUpU; *γ* – третья «швивка»: I – pGpCpUp, II – CpCpUpGpCp(Up)₃U, III – CpCpUpGpCpUpUpUpUpGpCpUp

Рис. 2. Разделение реакционных смесей, полученных в синтезах, моделирующих отдельные стадии синтеза додекануклеотида, в условиях, приведенных на рис. 1. *α* – вторая «швивка»: I – GpCpU, II – pUpUpU, III – GpCpUpUpUpU; *β* – третья «швивка»: I – pGpCpU, II – GpCpUpUpUpU, III – GpCpUpUpUpGpCpU; *γ* – третья «швивка»: I – GpCpUpUpUpU, II – pGpCpUp, III – GpCpUpUpUpGpCpU(p)

рис. 2 γ содержит продукт, не изменяющийся при обработке щелочной фосфатазой *E. coli*, т. е. не имеющий концевого фосфатного остатка. По-видимому, ионануклеотид в процессе выделения теряет 3'-концевую фосфатную группу. Прямое химическое секвенирование по методу Питти [11] подтвердило структуру ионануклеотидов CpCpUpGpCpUpUpUpU и GpCp·UpUpUpUpGpCpU (рис. 3 a, b).

Ионануклеотид CpCpUpGpCpUpUpUpU и тринуклеотид pGpCpUp «шивали» РНК-лигазой при концентрации фермента 3000 ед. акт./мл. Выход додекануклеотида составил ~8%. Таким образом, переход от более короткого акцептора (гексануклеотидного) к более длинному (ионануклеотидному, в котором шесть нуклеотидных остатков с 3'-конца повторяют структуру гексануклеотида) в этом случае не сопровождался уменьшением выхода в РНК-лигазной реакции. Полученный результат отличается от наблюдавшегося при описанном выше переходе от тринуклеотидного акцептора к гексануклеотидному, а также от литературных данных: в работе [12] при «шивании» одного и того же гексануклеотидного донора с гексануклеотидом и ундекануклеотидом, в котором шесть остатков с 3'-конца повторяют структуру гексануклеотида, получили целевые продукты с выходом соответственно 16 и 5%. По-видимому, это расхождение может быть связано или с разной длиной субстратов, в частности донора фосфата (тринуклеотид в настоящей работе и гексануклеотид в работе [12]), или с субстратной специфичностью РНК-лигазы (нуклеотидный состав и последовательность нуклеотидов в субстратах для обсуждаемых случаев совершенно различны), или, что не менее вероятно, с тем, что при «шивании» гексануклеотида GpCpUpUpUpU и тринуклеотида pGpCpUp можно подобрать условия для получения более высокого выхода, чем достигнутый нами в настоящей работе.

Для определения нуклеотидной последовательности к додекануклеотиду, обработанному фосфомоноэстеразой *E. coli*, присоединяли [$5'$ - 32 P]pCr с помощью РНК-лигазы и подвергали прямому химическому секвенированию [11]. После разделения образующегося набора фрагментов электрофорезом в поликариламидном геле получили авторадиограмму, подтверждающую структуру додекануклеотида (рис. 3 c).

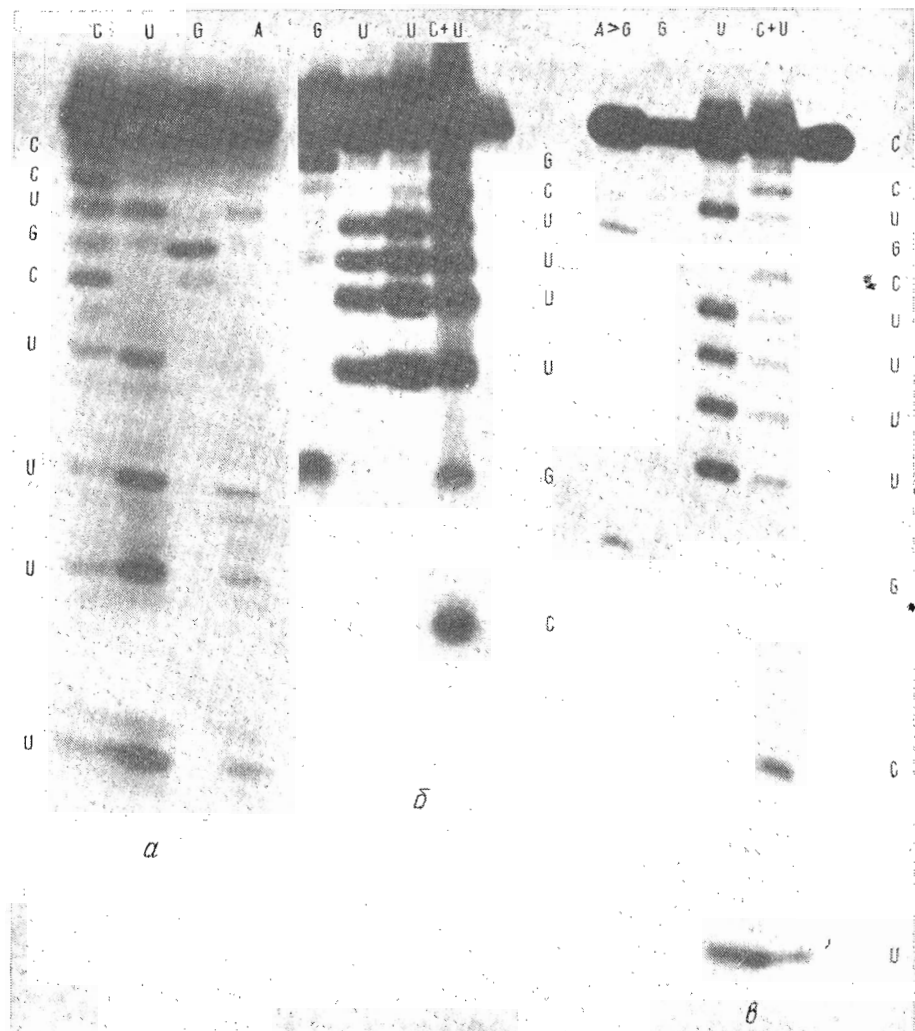


Рис. 3. Радиоавтограмма полиакриламидного геля, полученная при определении первичной структуры CpCpUpGpCpUpUpUpU (а), GpCpUpUpUpGpCpU (б) и $\text{CpCpUpGpCpUpUpUpGpCpU}$ (в) по методу Питти [11]. XC — положение красителя ксиленцианола, BP — бромфенолового синего, К — контроль (исходный олигопуклеотид)

Экспериментальная часть

В работе использовали цитидин, уридин, натриевые соли 2'(3')-фосфатов цитидина и уридуна, UDP и ATP, панкреатическую рибонуклеазу (Reanal, Венгрия), циклогексилгуанидиниевую соль гуанози-2',3'-циклофосфата, DEAE-целлюлозу Cellex D, ПН-фосфорилазу *M. luteus* (Calbiochem, США), мета-*n*-толуолсульфонат N-циклогексил-N'-(2-морфолиноэтил)карбодимида, дитиоэритрит (Serva, ФРГ), сефадексы G-10, G-15, DEAE-сефадекс A-25 (Pharmacia, Швеция), ПН-фосфорилазу *E. coli* и эндонуклеазу *Ser. marcescens* отечественного производства.

Цитидин-2',3'-циклофосфат, нуклеозид-2'(3'),5'-диfosфаты и соответствующие 5'-фосфорилнуклеозид-2',3'-циклофосфаты синтезировали как описано в работах [5, 8]. Циклогексилгуанидиниевую соль G>r превращали в аммониевую соль обработкой дауаксом, 50 W (NH_3^+ -форма).

Неспецифичная рибонуклеаза *Penicillium brevicompactum* (КФ 2.7.7.17), ковалентно связанная с СМ-целлюлозой, была приготовлена как описано в работе [13]. Гуанилспецифичная рибонуклеаза *Aspergillus clavatus* C_o (КФ 2.7.7.26) получена от С. И. Безбородовой (ВНИИ генети-

ки и селекции промышленных микроорганизмов). РНК-лигаза Т4 была выделена В. Ф. Майстренко и Н. М. Пустошиловой (НИКТИ БАВ, Новосибирск).

Хроматографию и электрофорез на бумаге, микроколоночную хроматографию и УФ-спектрофотометрию проводили в соответствии с работой [8]. Олигонуклеотиды, представленные в табл. 2, получали как описано в работах [3–5]. Тринуклеозиддифосфат СрСрУ синтезировали в условиях, указанных в табл. 1. Обработку реакционной смеси и препаративное выделение проводили в соответствии с работой [6]. Тринуклеотид рUpUpU выделяли из гидролизата poly(U), обработанного эндонуклеазой *Ser. marginates*, как описано в работе [8].

Синтезы олигонуклеотидов с участием РНК-лигазы Т4 и разделение реакционных смесей проводили в условиях, подробно описанных в работе [8]. Результаты синтезов представлены в табл. 3.

Авторы приносят сердечную благодарность С. И. Безбородовой, В. Ф. Майстренко и Н. М. Пустошиловой за ферментные препараты, а также сотрудникам кафедры химии природных соединений МГУ В. Л. Друце и А. А. Пурмалю за содействие в проведении колоночной хроматографии.

ЛИТЕРАТУРА

1. Каверин Н. В. Молекулярная биология, 1980, т. 14, № 2, с. 245–260.
2. Desselberger U., Racaniello V. R., Zarra J. J., Palese P. Gene, 1980, v. 8, № 3, p. 315–328.
3. Женодарова С. М., Клягина В. П., Седельникова Э. А., Смолянинова О. А., Хабарова М. И., Майстренко В. Ф., Пустошилова Н. М. Биоорган. химия, 1982, т. 8, № 8, с. 1077–1083.
4. Хабарова М. И., Смолянинова О. А., Багдонас А. С., Коваленко М. И., Женодарова С. М. Биоорган. химия, 1978, т. 4, № 6, с. 740–744.
5. Женодарова С. М., Седельникова Э. А., Смолянинова О. А., Хабарова М. И., Антонович Е. Г. Биоорган. химия, 1980, т. 6, № 10, с. 1516–1521.
6. Женодарова С. М., Клягина В. П., Смолянинова О. А. Биоорган. химия, 1980, т. 6, № 10, с. 1505–1515.
7. Ренхоф Р. Ф., Шернъ Л. А., Микелсоне Л. Х., Грен Э. Я. Биоорган. химия, 1981, т. 7, № 2, с. 228–235.
8. Женодарова С. М., Клягина В. П., Седельникова Э. А., Смолянинова О. А., Хабарова М. И., Майстренко В. Ф., Пустошилова Н. М. Биоорган. химия, 1981, т. 7, № 4, с. 524–533.
9. England T. E., Uhlenbeck O. C. Biochemistry, 1978, v. 17, № 11, p. 2069–2076.
10. Kikuchi Y., Hishinuma F., Sakaguchi K. Proc. Nat. Acad. Sci. USA, 1978, v. 75, № 3, p. 1270–1273.
11. Peattie D. Proc. Nat. Acad. Sci. USA, 1978, v. 76, № 4, p. 1760–1764.
12. Ohtsuka E., Nishikawa S., Markham A. F., Tanaka S., Miyake T., Wakabayashi T., Ikebara M., Sugiura M. Biochemistry, 1978, v. 17, № 23, p. 4894–4899.
13. Женодарова С. М., Соболева И. А., Хабарова М. И., Ежов В. А., Приходько А. Г. Биоорган. химия, 1980, т. 6, № 5, с. 736–742.

Поступила в редакцию
23.II.1983

ENZYMATIC SYNTHESIS OF OLIGONUCLEOTIDES CORRESPONDING TO THE 3'-TERMINUS OF INFLUENZA VIRUS RNA

ZHENODAROVA S. M., KLYAGINA V. P., SEDELNIKOVA E. A.,
SMOLYANINOVA O. A., KHABAROVA M. I., BELOVA E. N.,
MAN'KIN A. S.

Institute of Biological Physics, Academy of Sciences of the USSR, Pushchino;
A. N. Belozersky Laboratory of Molecular Biology and Bioorganic Chemistry,
M. V. Lomonosov Moscow State University, Moscow

Dodecanucleotide CpCpUpGpCpUpUpUpGpCpU corresponding to 3'-terminus of influenza virus RNA has been synthesized. The initial blocks CpCpU, GpCpU, pGpCpU and pGpCpUp were prepared enzymatically in the presence of ribonucleases of different substrate specificity and polynucleotide phosphorylase *M. luteus*. pUpUpU was obtained by enzymatic degradation of polyuridilic acid. The initial blocks were joined by T4 RNA-ligase.